

Simulaciones numéricas directas en turbulencia de pared: Una visión global

Sergio Hoyas

Departamento de informática, Universidad de Valencia

Mark Simens, Javier Jiménez
ETSI Aeronáuticos, UPM

Funding:
DEISA, BSC, CICYT, PIC

¡9 Millones de horas!

¿Para qué y por qué necesitamos 9e6 horas y 50 Tb?

Cascada de Energía

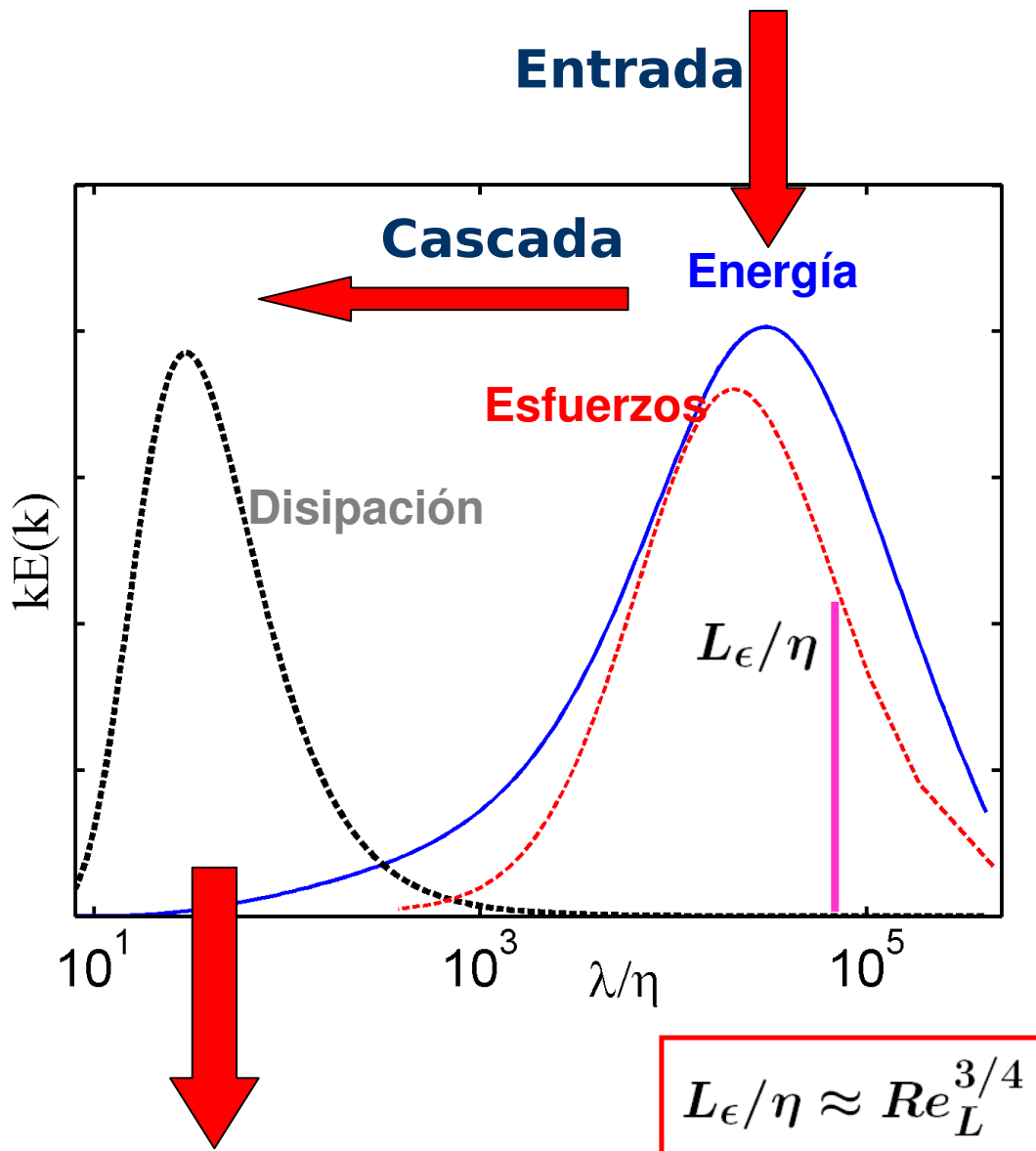
Kolmogorov (1941)



*Big whorls have little whorls
that feed on their velocity,
and little whorls have lesser whorls
and so on to viscosity.*

Richardson

Flujo de energía en turbulencia isótropa



Dissipation: $5 - 100\eta$
Energy: $0.01 - 50L_\epsilon$
Stress: $0.1 - 20L_\epsilon$

Flujos industriales típicos

$$Re_L = 6000 - 1000000$$

Estela de una persona caminando

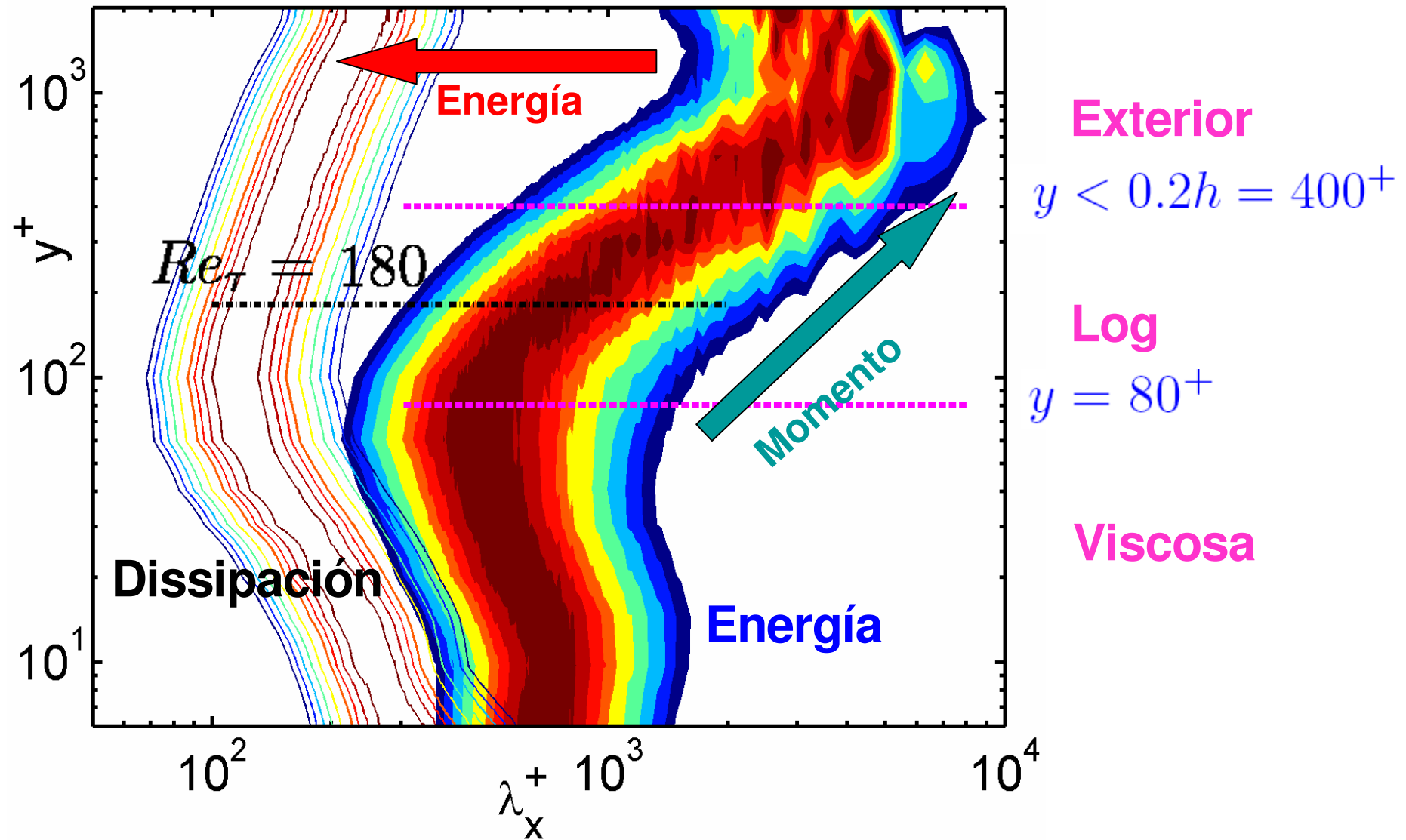
$$Re_L = 16000$$

Capa límite de un avión

$$Re_L = 6000000$$

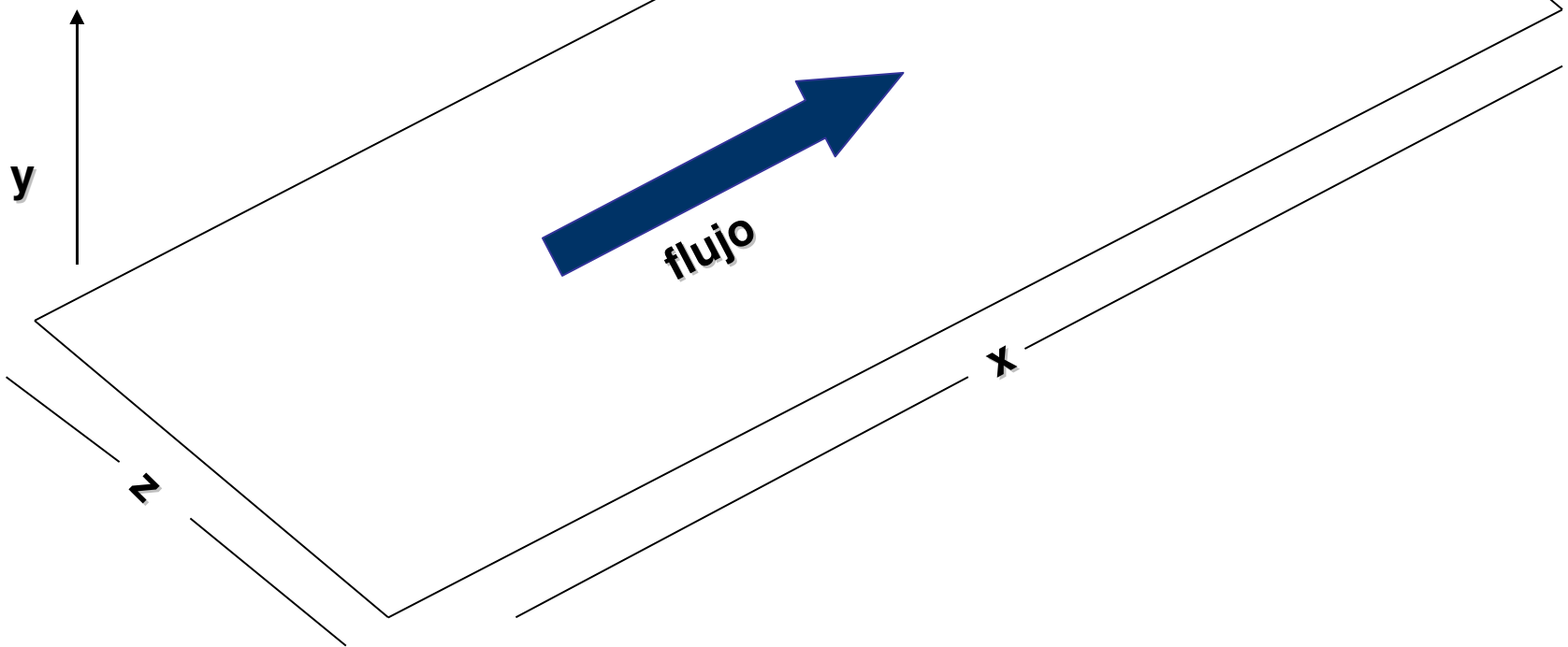
Cascadas en la turbulencia de pared

$$Re_\tau = u_\tau h / \nu = 2000$$



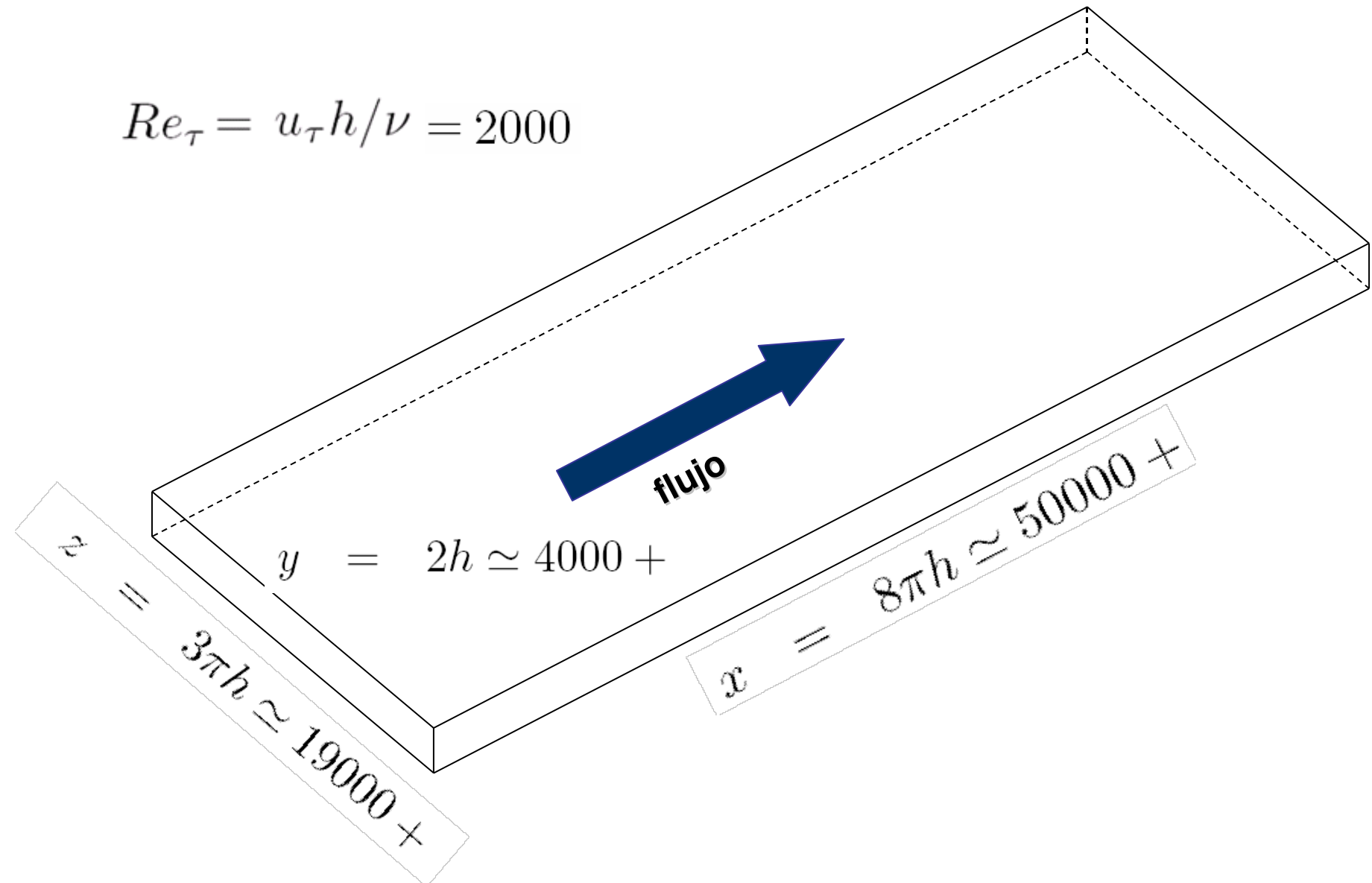
Dominio

Capa límite



Dominio

$$Re_\tau = u_\tau h / \nu = 2000$$

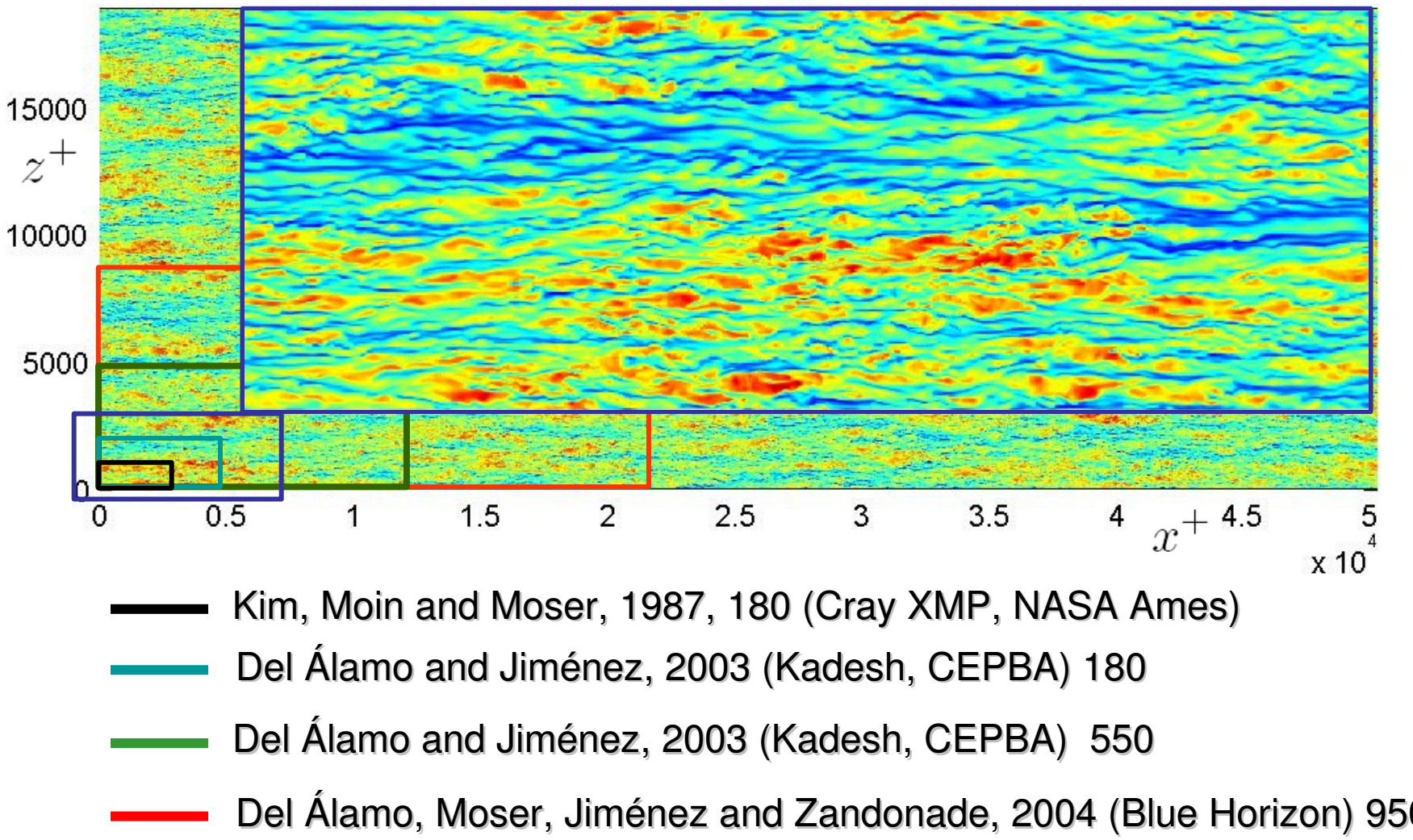


Mallado del canal

# Puntos (Fis.)	# Puntos (Fourier, R.)	# Puntos (Fourier, C.)
$N_x = 6144 = 2^{11} \times 3$	4096	2048
$N_y = 633$		
$N_z = 4608 = 2^9 \times 9$		3072
Espacio físico		Espacio de Fourier
$\Delta x^+ \simeq 8.18$	$\Delta x^+ \simeq 12.27$	$\min(\Delta y^+) \simeq 0.32$
$\Delta z^+ \simeq 4.1$	$\Delta z^+ \simeq 6.13$	$\max(\Delta y^+) \simeq 8.88$

Memoria total 400GB (simple precision).

Simulaciones anteriores



Simulaciones anteriores

AERONAUTICS



1987, Illiac IV
2001, Kadesch
2003, Blue Horizon
2005, Mare Nostrum



Ecuaciones de Navier-Stokes

$$\frac{\partial u_i}{\partial t} = -\frac{\partial p}{\partial x_i} + H_i + \frac{1}{Re} \nabla^2 u_i,$$

$$\frac{\partial u_i}{\partial x_i} = 0,$$

$$\vec{u} = (u_1, u_2, u_3) = (u, v, w)$$

$$\vec{\omega} = \vec{\nabla} \times \vec{u} = (\omega_1, \omega_2, \omega_3) = (\omega_x, \omega_y, \omega_z)$$

$$\vec{H} = (\vec{u} \times \vec{\omega}) - \frac{1}{2} \nabla (\vec{u} \cdot \vec{u}) = (H_1, H_2, H_3)$$

Forma Velocidad-Vorticidad

$$\frac{\partial}{\partial t} \phi = h_v + \frac{1}{Re} \nabla^2 \phi \quad \leftarrow \quad \phi = \nabla^2 v$$

$$\frac{\partial}{\partial t} \omega_y = h_g + \frac{1}{Re} \nabla^2 \omega_y$$

70-80% of time
99% of communication

$$h_g = \frac{\partial H_1}{\partial z} - \frac{\partial H_3}{\partial x}$$

$$h_v = -\frac{\partial}{\partial y} \left(\frac{\partial H_1}{\partial x} + \frac{\partial H_3}{\partial z} \right) + \left(\frac{\partial^2}{\partial x^2} + \frac{\partial^2}{\partial z^2} \right) H_2$$

Discretización en x y z

Discretización

Espacial: Fourier en x y z, diferencias finitas compactas en z

$$\varphi(x, y, z) = \sum_{\alpha'=0}^{N_x-1} \sum_{\beta'=0}^{N_z-1} \varphi_{\alpha', \beta'}(y) e^{ic_\alpha \alpha' x} e^{ic_\beta \beta' z}$$

con

$$c_\alpha = 2\pi L_y / L_X \quad c_\beta = 2\pi L_y / L_z$$

tomando

$$k_x = c_\alpha \alpha' \quad k_z = c_\beta \beta'$$

$$\varphi(x, y, z) = \sum_{kx} \sum_{kz} \varphi_{k_x, k_z}(y) e^{(k_x x + k_z z)i}$$

Ecuaciones en el espacio de Fourier

$$\partial_t \hat{\omega}_y = \hat{h}_g - \frac{1}{Re} (k_x^2 + k_z^2 - \partial_{yy}) \hat{\omega}_y$$

$$\hat{\omega}_y (\pm 1) = 0$$

$$\partial_t \hat{\phi} = \hat{h}_v + \frac{1}{Re} \nabla^2 \hat{\phi}$$

$$\nabla^2 \hat{v} = \hat{\phi},$$

$$\partial_n \hat{v} (\pm 1) = 0, \hat{v} (\pm 1) = 0$$

FFT. El problema del dealiasing

Problema clásico de la turbulencia: como calcular por ejemplo

$$H_1 = (v\omega_z - w\omega_y)$$

$$\left\{ \begin{array}{l} v^j = \sum_{k=-N/2}^{N/2-1} \hat{v}_k e^{ikx_j} \\ \omega_z^j = \sum_{k=-N/2}^{N/2-1} \hat{\omega}_k^z e^{ikx_j} \end{array} \right. \quad j = 0, 1, \dots, N-1 \quad \rightarrow \quad H_{1,j}^1 = v^j \omega_z^j,$$

como

$$\hat{H}_{1,k}^1 = \frac{1}{N} \sum_{j=0}^{N-1} H_{1,j}^1 e^{-ikx_j}, k = -\frac{N}{2}, \dots, \frac{N}{2} - 1$$

$$\hat{H}_{1,k}^1 = \sum_{m+n=k} \hat{v}_m \hat{\omega}_n^z + \sum_{m+n=k \pm N}$$

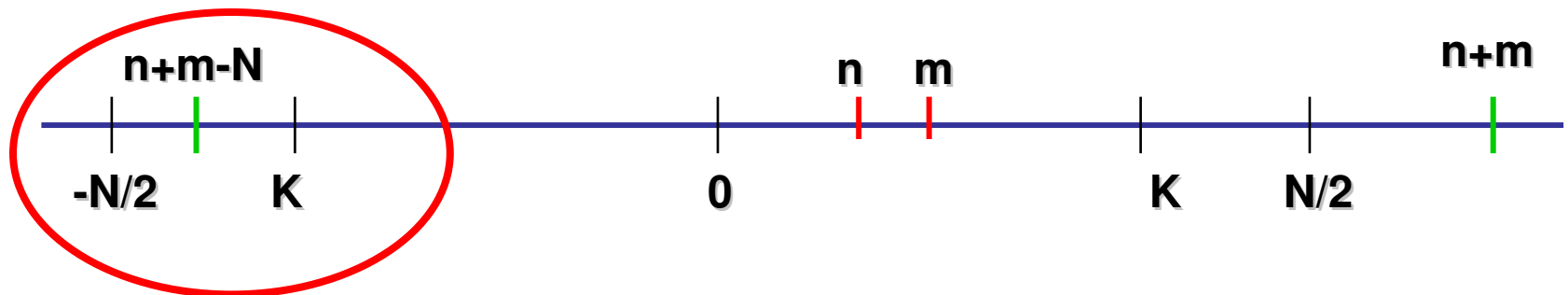
Error de aliasing

Dealiasing

Dos formas de evitarlo: phase shifts y truncación o 3/2

$$\tilde{v}_k = \begin{cases} \hat{v}_k & |k| \leq N/2 \\ 0 & N/2 < |k| \leq (2/3)N/2 \end{cases}$$

Truncación: agrandamos la transformada



Si $m + n > N/2 \Rightarrow m + n - N/2 \in (-N/2, -K)$

Pedimos $m + n - N/2 < -K \Rightarrow 2K - N/2 < -K \Rightarrow K < N/3$

Condición de Neumann para v

$$\partial_y v(\pm 1) = 0 \quad \longrightarrow \quad v = v_p + c_1 v_1 + c_2 v_2,$$

$$\begin{aligned} \partial_t \hat{\phi}_1 - \frac{1}{Re} (k_x^2 + k_z^2 - \partial_{yy}) \hat{\phi}_1 &= 0, & \partial_t \hat{\phi}_p &= \hat{h}_v + \frac{1}{Re} (k_x^2 + k_z^2 - \partial_{yy}) \hat{\phi}, \\ \nabla^2 \hat{v}_1 &= \hat{\phi}_1, & \nabla^2 \hat{v}_p &= \hat{\phi}_p, \end{aligned}$$

$$\hat{v}_1(\pm 1) = 0, \phi_1(1) = 0, \phi_1(-1) = 1. \quad \hat{v}_p(\pm 1) = 0, \phi_p(\pm 1) = 0$$

~~$$\begin{aligned} \partial_t \hat{\phi}_2 - \frac{1}{Re} (k_x^2 + k_z^2 - \partial_{yy}) \hat{\phi}_2 &= 0, \\ \hat{v}_2(\pm 1) = 0, \phi_2(1) = 0, \phi_2(-1) = 1, & \qquad v_2(y) = v_1(-y) \\ \nabla^2 \hat{v}_2 &= \hat{\phi}_2. \end{aligned}$$~~

Discretización

Método: Runge-Kutta de tercer orden (Spalart et al, 1991)

$$\partial_t u = L(u) + N(u)$$

$$u^1 = u^0 + \Delta t [L(\alpha_1 u^0 + \beta_1 u^1) + \gamma_1 N^0]$$

$$u^2 = u^1 + \Delta t [L(\alpha_2 u^1 + \beta_2 u^2) + \gamma_2 N^1 + \xi_1 N^0]$$

$$u^3 = u^2 + \Delta t [L(\alpha_3 u^2 + \beta_3 u^3) + \gamma_3 N^2 + \xi_2 N^1]$$



$$R_i = \frac{Re}{\beta_i \Delta t}, \quad Rk_i = (R^i + k_x^2 + k_z^2), \quad \rightarrow \text{118 e6 ecuaciones/paso}$$

$$(\partial_{yy} - Rk_1) u^1 = -R_1 [u^0 + \Delta t (\alpha_1 L u^0 + \gamma_1 N^0)],$$

$$(\partial_{yy} - Rk_2) u^2 = -R_2 [u^1 + \Delta t (\alpha_2 L u^1 + \gamma_2 N^1 + \xi_1 N^0)],$$

$$(\partial_{yy} - Rk_3) u^3 = -R_3 [u^2 + \Delta t (\alpha_3 L u^2 + \gamma_3 N^2 + \xi_2 N^1)],$$

Discretización - y

Normal: Diferencias finitas compactas (Lele, 1991)

Primera derivad: malla de 7 puntos. Mapeada a la original

$$D_j + \sum_{m=1}^M b_m (D_{j+m} + D_{j-m}) = \frac{1}{h} \sum_{n=1}^N a_n (u_{j+n} - u_{j-n})$$

N=M=7

Segunda derivada: malla real

$$D_j^{(2)} + \sum_{m=1}^M b_m (D_{j+m}^{(2)} + D_{j-m}^{(2)}) = \frac{a_0 u_j + \sum_{n=1}^N a_n (u_{j+n} + u_{j-n})}{h^2}$$

N=M=5

Sistemas: métodos LU, sin pivotaje, adaptadas de “Numerical Recipes”

Discretización - y

$$\underbrace{\begin{pmatrix} * & * & * \\ * & * & * & * \\ * & * & * & * & * \\ * & * & * & * & * & * \\ \ddots & \ddots & \ddots & \ddots & \ddots & \ddots \\ & * & * & * & * & * \\ & * & * & * & * & * \\ & * & * & * & * & * \\ & * & * & * & * & * \end{pmatrix}}_D \begin{pmatrix} u''_1 \\ u''_2 \\ \vdots \\ u''_n \end{pmatrix} = \underbrace{\begin{pmatrix} * & * & * \\ * & * & * & * \\ * & * & * & * & * \\ * & * & * & * & * & * \\ \ddots & \ddots & \ddots & \ddots & \ddots & \ddots \\ & * & * & * & * & * \\ & * & * & * & * & * \\ & * & * & * & * & * \\ & * & * & * & * & * \end{pmatrix}}_A \begin{pmatrix} u_1 \\ u_2 \\ \vdots \\ u_n \end{pmatrix}$$

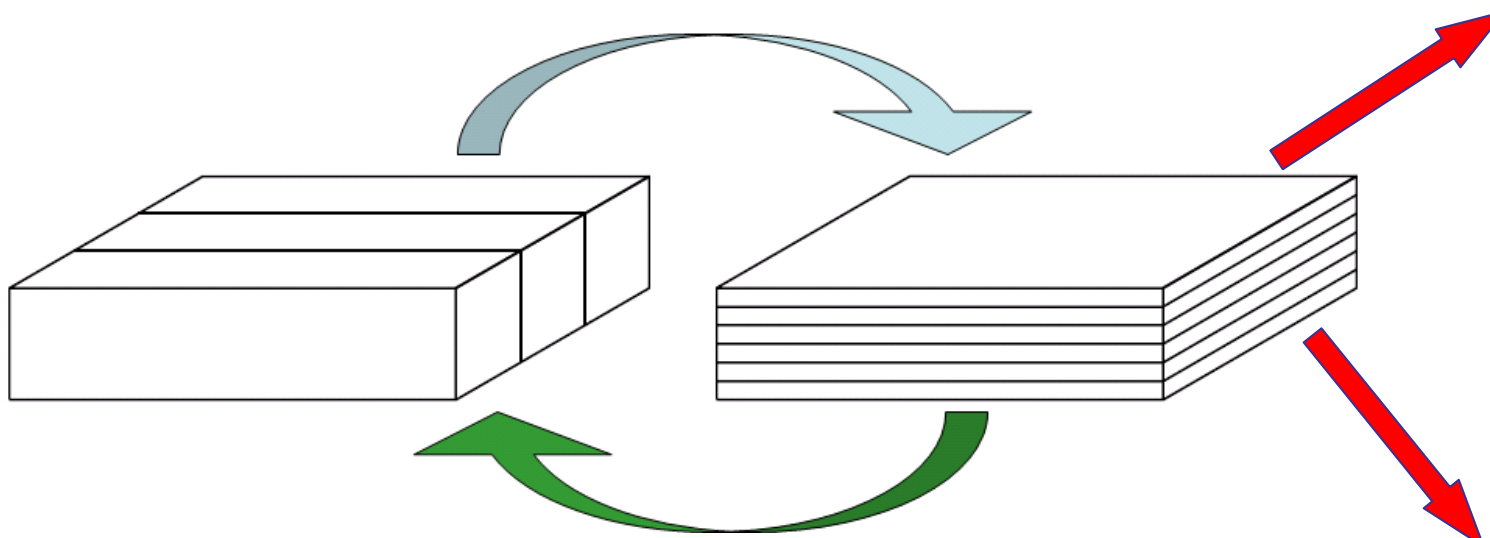
$$\begin{aligned}
 u^{n+1} - K \partial_{yy} u^{n+1} &= f(u^n) \\
 D u^{n+1} - K (D \partial_{yy} u^{n+1}) &= D f(u^n) \\
 D u^{n+1} - K A u^{n+1} &= D f(u^n) \\
 \boxed{(D - K A) u^{n+1}} &= D f(u^n)
 \end{aligned}$$

Sistemas: métodos LU, sin pivotaje, adaptadas de “Numerical Recipes”

Esquema clásico de paralelización

$$\vec{H} = \vec{F}(v, \partial_y v_y, \phi, \omega_y, \partial_y \omega_y)$$

Solo podemos usar N_y procs



$$h_v = -\frac{\partial}{\partial y} \left(\frac{\partial H_1}{\partial x} + \frac{\partial H_3}{\partial z} \right) + \left(\frac{\partial^2}{\partial x^2} + \frac{\partial^2}{\partial z^2} \right) H_2$$

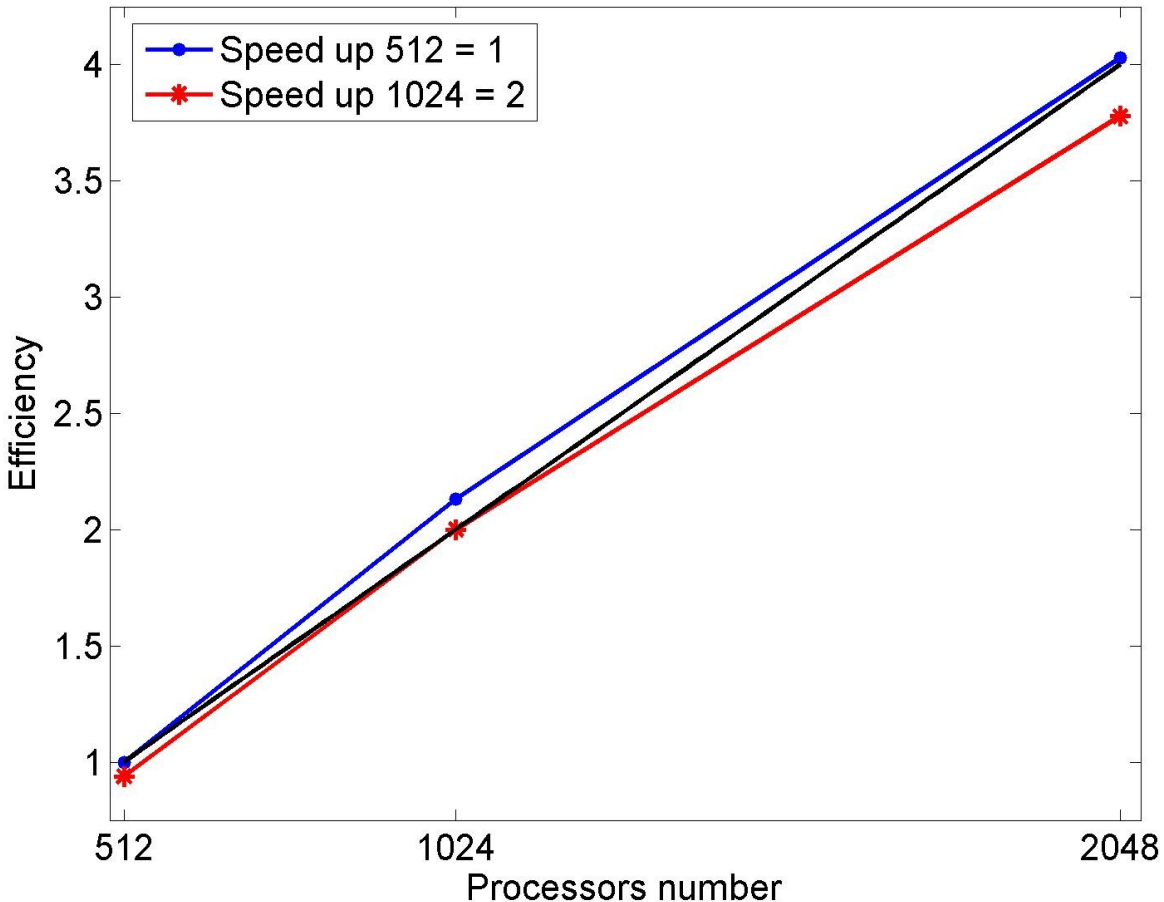
$$h_g = \frac{\partial H_1}{\partial z} - \frac{\partial H_3}{\partial x}$$

Problema dealiasing 2D

$$Re_\tau = 2000 \Rightarrow 650MB$$

$$Re_\tau = 4000 \Rightarrow 2.4GB$$

Speed-up del nuevo esquema



Importante

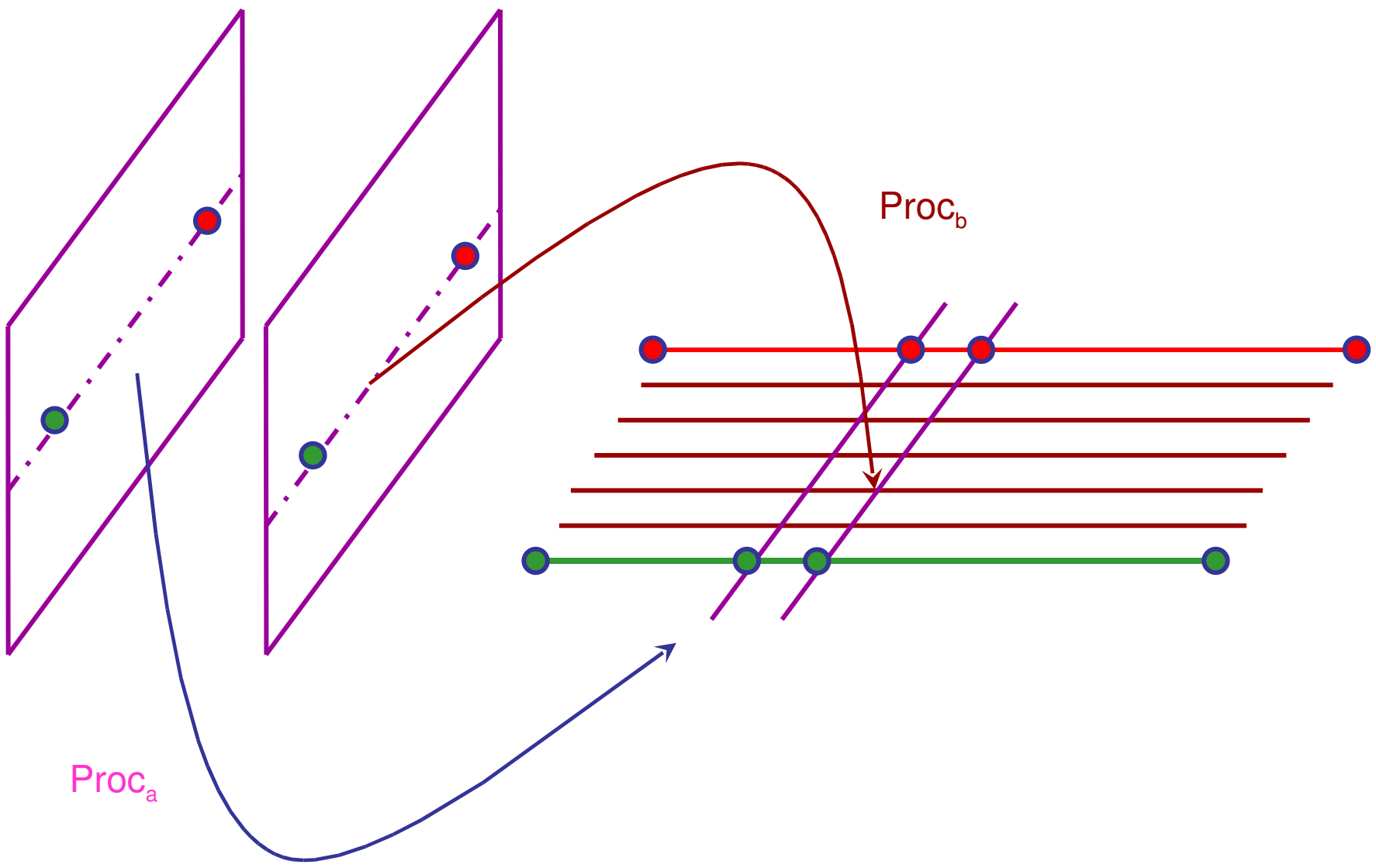
- Optimización de rutinas
- Adaptado:

- XLF
- Arquitectura de MareNostrum

Claves

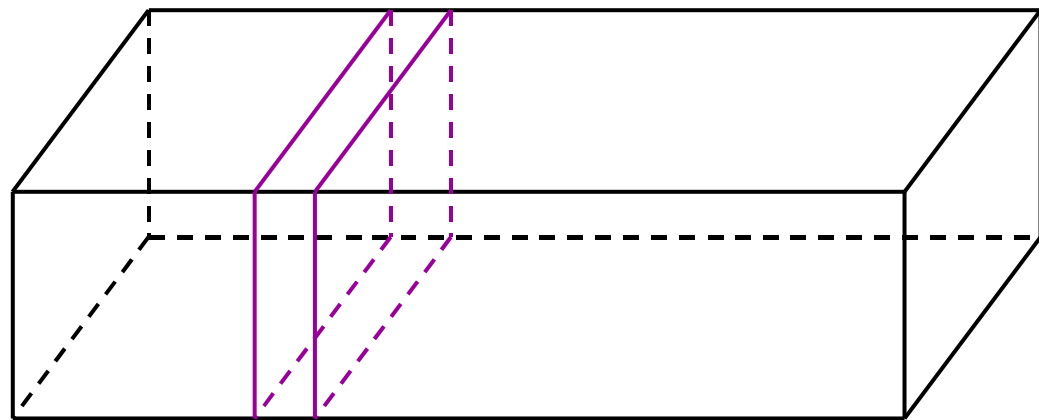
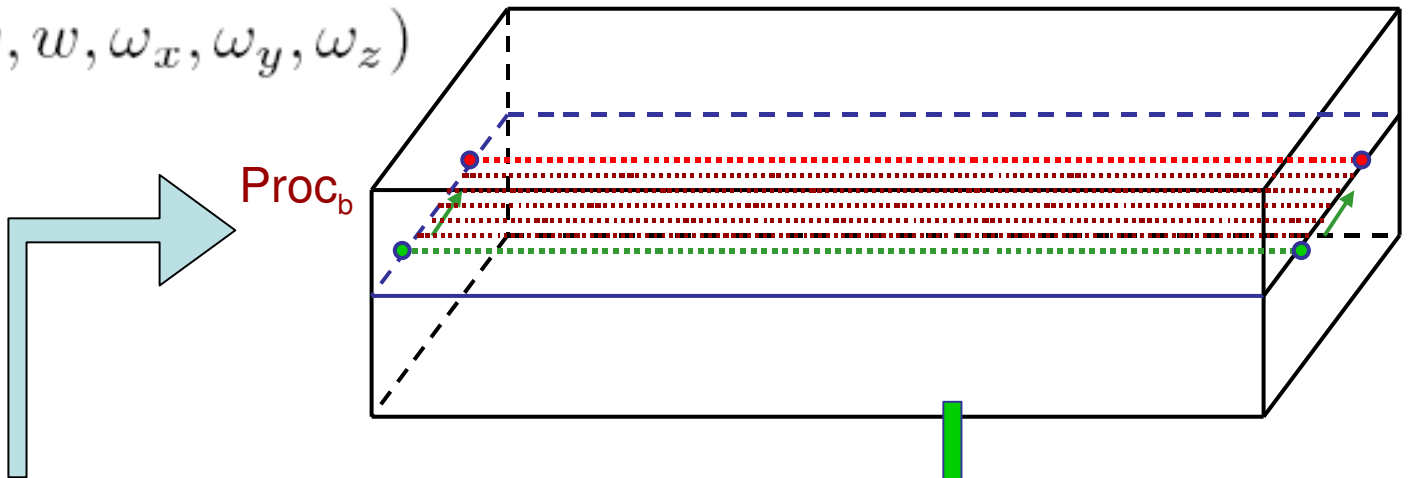
- **Input/output**
- **Comunicaciones**

Esquema en lineas-planos



Paralelización en planos-líneas

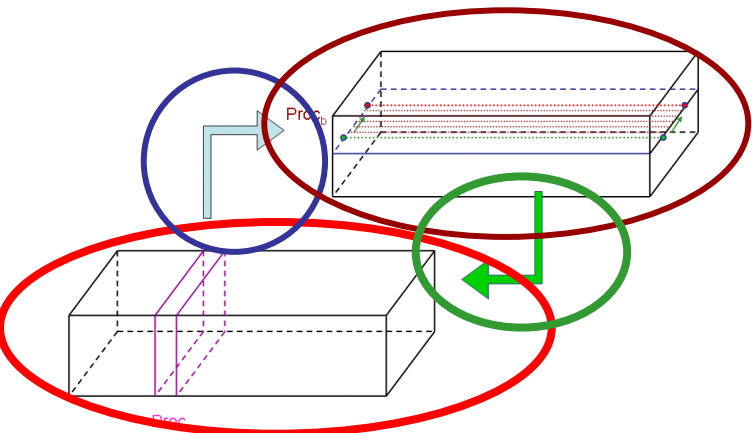
$$\vec{H} = \vec{F}(u, v, w, \omega_x, \omega_y, \omega_z)$$



$$h_g = \frac{\partial H_1}{\partial z} - \frac{\partial H_3}{\partial x}$$

$$h_v = -\frac{\partial}{\partial y} \left(\frac{\partial H_1}{\partial x} + \frac{\partial H_3}{\partial z} \right) + \left(\frac{\partial^2}{\partial x^2} + \frac{\partial^2}{\partial z^2} \right) H_2$$

Paralelización en líneas planos: esquema



- 1.- 10%
- 2.- 40% (133MB)
- 3.- 10%
- 4.- 20% (66 MB)
- 5.- 20%

Primera parte

- 1.- Calculamos vel. y vort. (F-P-F)
- 2.- Transformamos z al espacio físico

Segunda parte

Movemos de yz a líneas en x

Tercera parte

- 1.- Transformamos x a físico
- 2.- Cálculo de la helicidad
- 3.- Transfomamos la helicidad a Fourier

Cuarta parte

Movemos de líneas en x a yz

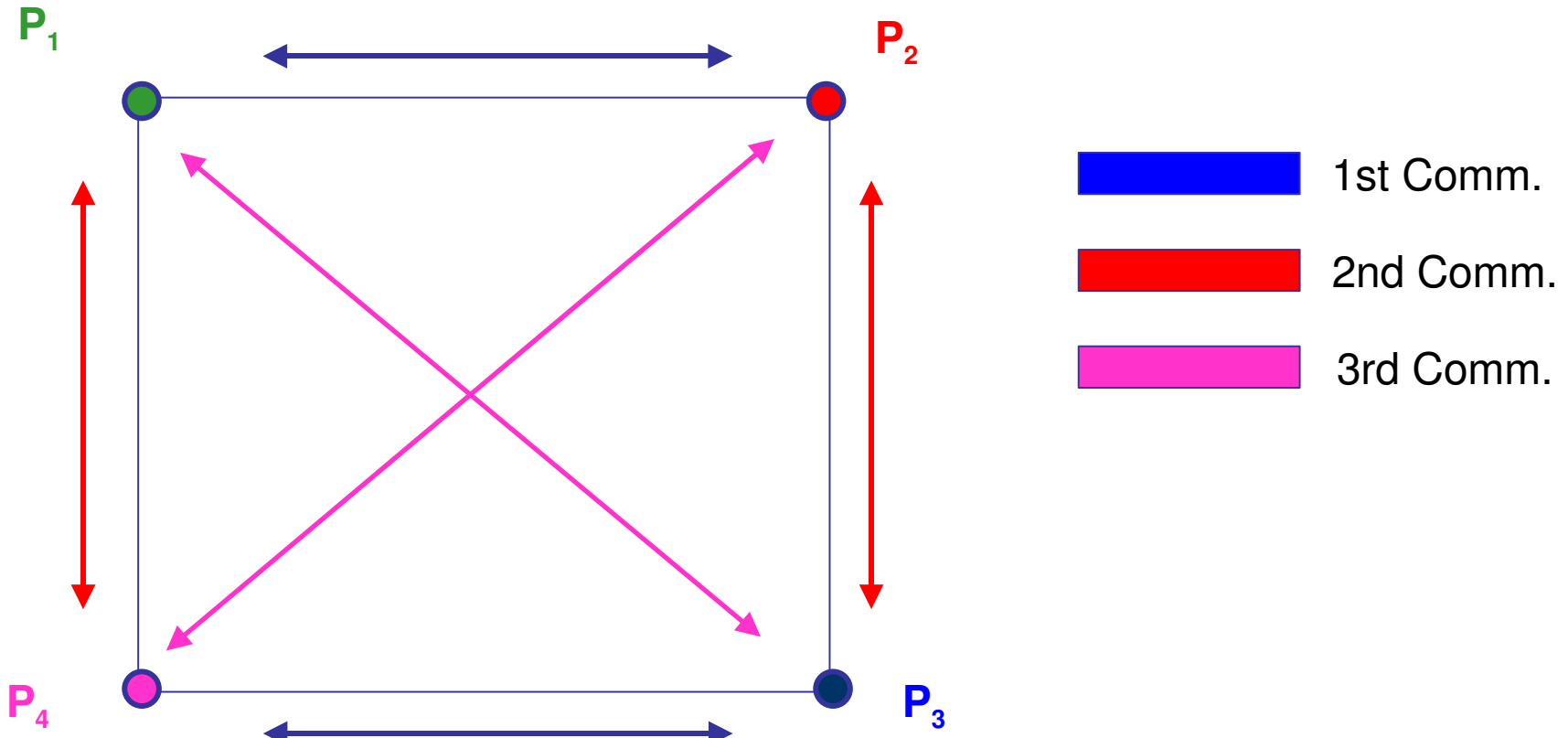
Quinta parte

- 1.- Transformamos a (F-P-F)
- 2.- Calculo del RHS de la ecuación
- 3.- Resolvemos los sistemas
- 4.- Avanzamos en tiempo

Topología de hipercubo para las comunicaciones

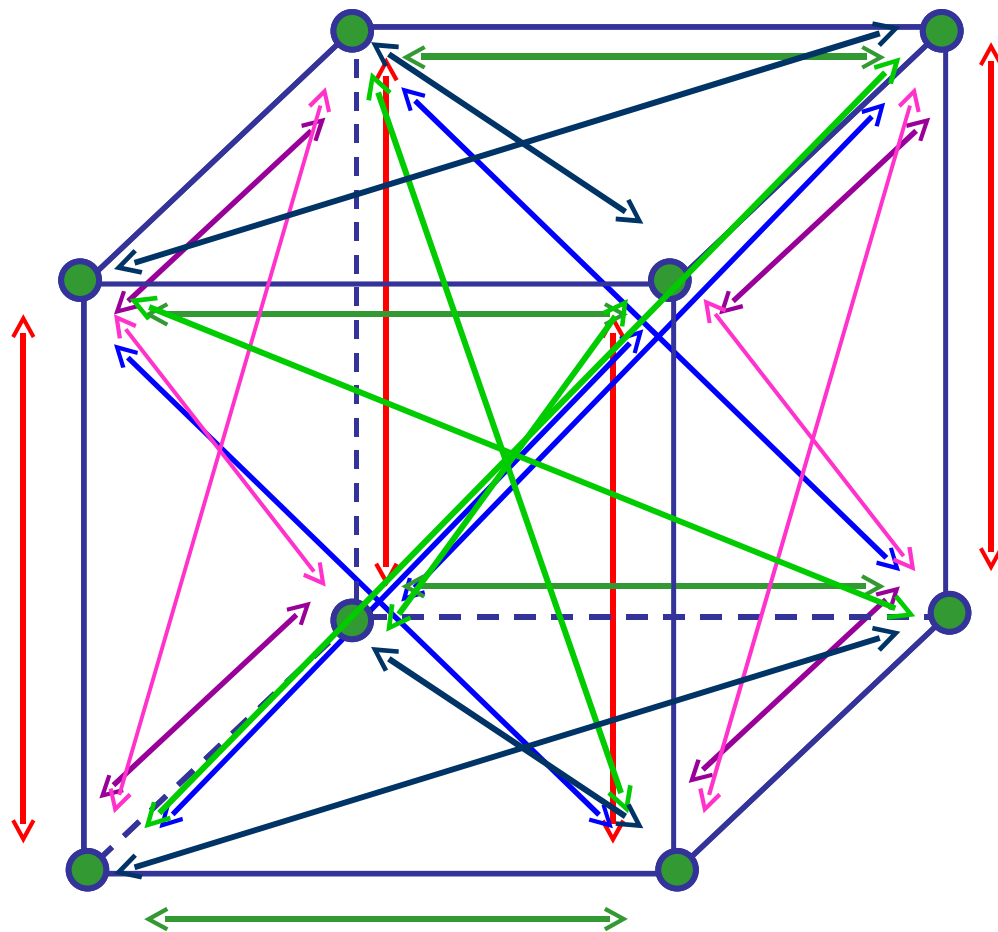
1. Si A está mandando datos a B, B tiene que estar esperando a A.
2. Nadie más tiene que comunicarse con A o B

$$\#Procs = 4 = 2^2$$



Hipercubo

#Procs = $8=3^2$



- | | |
|--|-------------|
| | 1st. |
| | 2nd |
| | 3rd |
| | 4th |
| | 5th |
| | 6th |
| | 7th |

Hipercubo: seudocódigo

```
! numerop = number of processors
! pnodes = 2**n, pnodes >= numerop

do pproc=1,pnodes-1
    iproc=ieor(myid,pproc)
    if (iproc<numerop) then
        do ii=pb,pe
            call MPI SENDRECV(bs,nsend,MPI REAL,iproc,0,
                               bi,nrecv,MPI REAL,iproc,0,
                               MPI_COMM_WORLD,istat,ierr)
        .
        .
        enddo
    endif
enddo
```

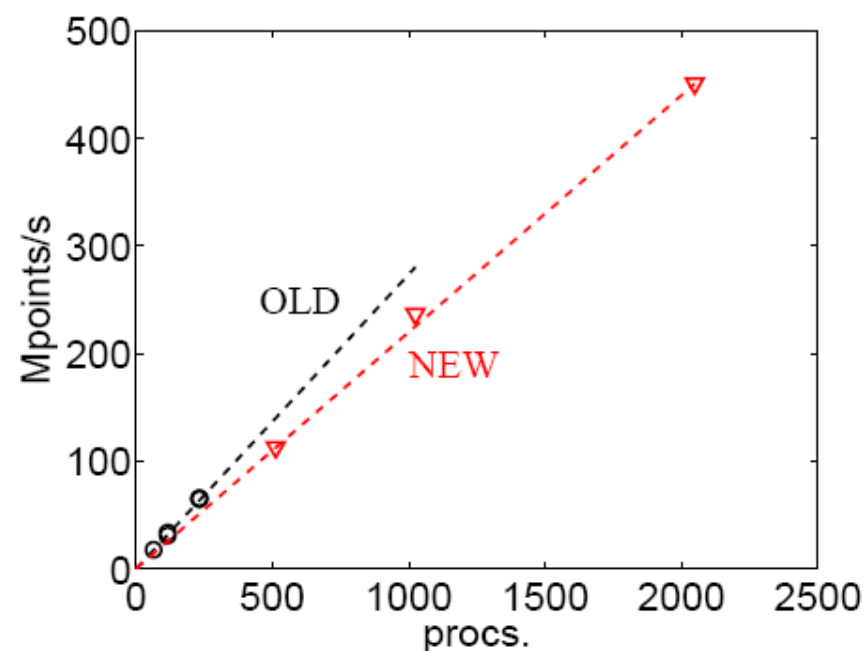
Wrong!!!



```
do pproc=1,numerop-1
    do ii=pb,pe
        call MPI SENDRECV(bs,nsend,MPI REAL,iproc,0,
                           bi,nrecv,MPI REAL,iproc,0,
                           MPI_COMM_WORLD,istat,ierr)
    .
    enddo
enddo
```

Comparación entre códigos

MareNostrum



OLD CODE

9 Fourier buffers
8 buffer transposes
Comm. Time/Total = 28%

$$N_{proc} \leq N_y$$

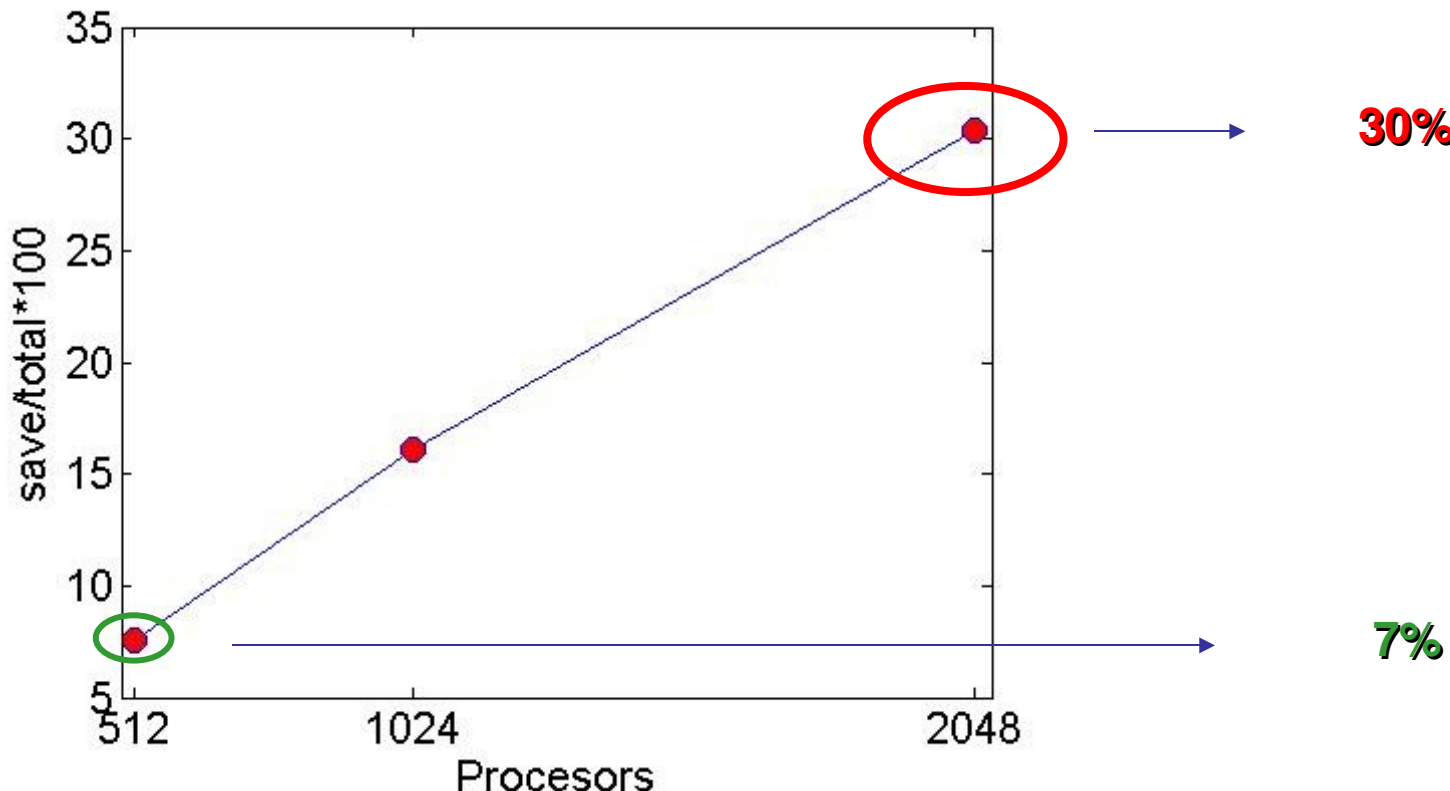
NEW CODE

12.5 Fourier buffers
13.5 buffer transposes
Comm. Time/Total = 58%

$$N_{proc} \leq N_x/3$$

Entrada/salida de datos

- El código salva una imagen cada 200 pasos.
- El archivo pesa alrededor de **60GB**
- Implementación clásica: esclavos a maestro
- Todos los procesadores tienen que esperar a que el archivo esté escrito



Dos soluciones

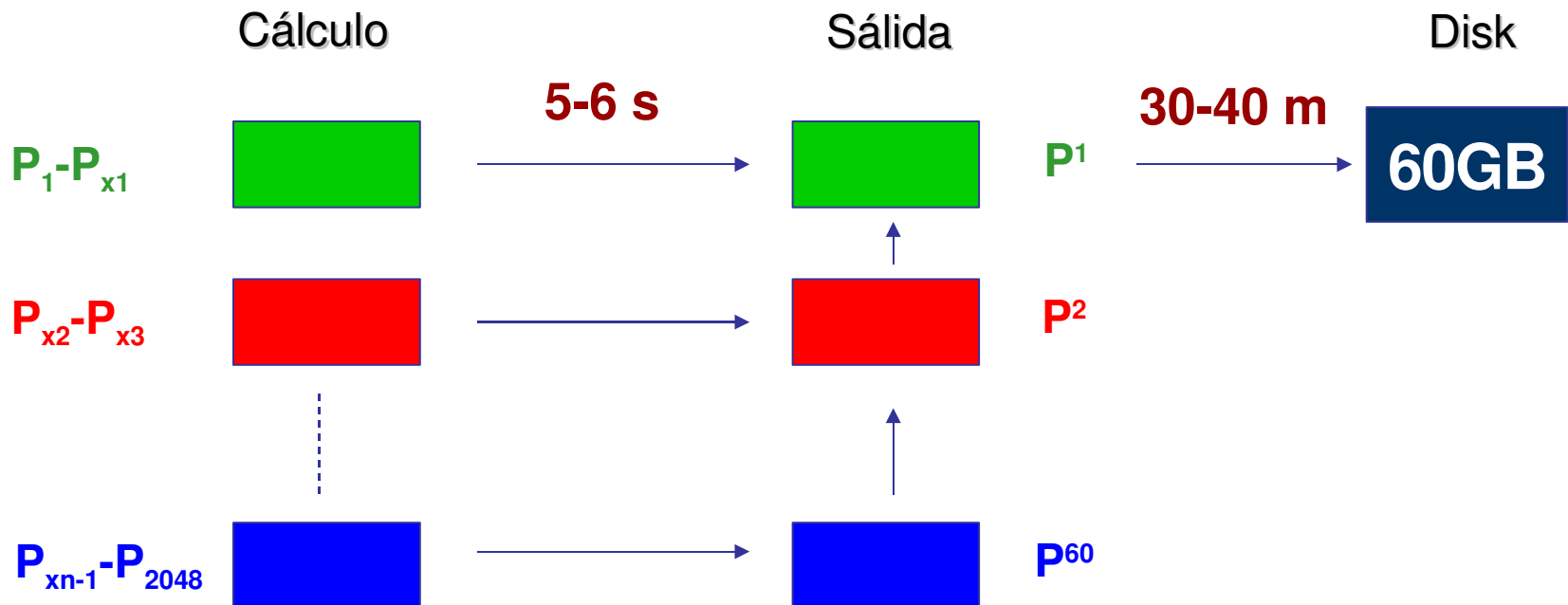
Propuesta por MN:

Cada procesador escribe su plano a un directorio

- No se implementó

- Problemas: 2048 procesadores intentando escribir al mismo tiempo.
2048 archivos generados por cada imagen, 600.000 en total

Implementada: Pedimos 60 procs más y creamos dos MPI_GROUPS



Simulaciones cinemáticas de canales

NEAR-WALL

$$Re_\tau \gg 60$$

LOG LAYER

$$0.2 Re_\tau \gg 60$$

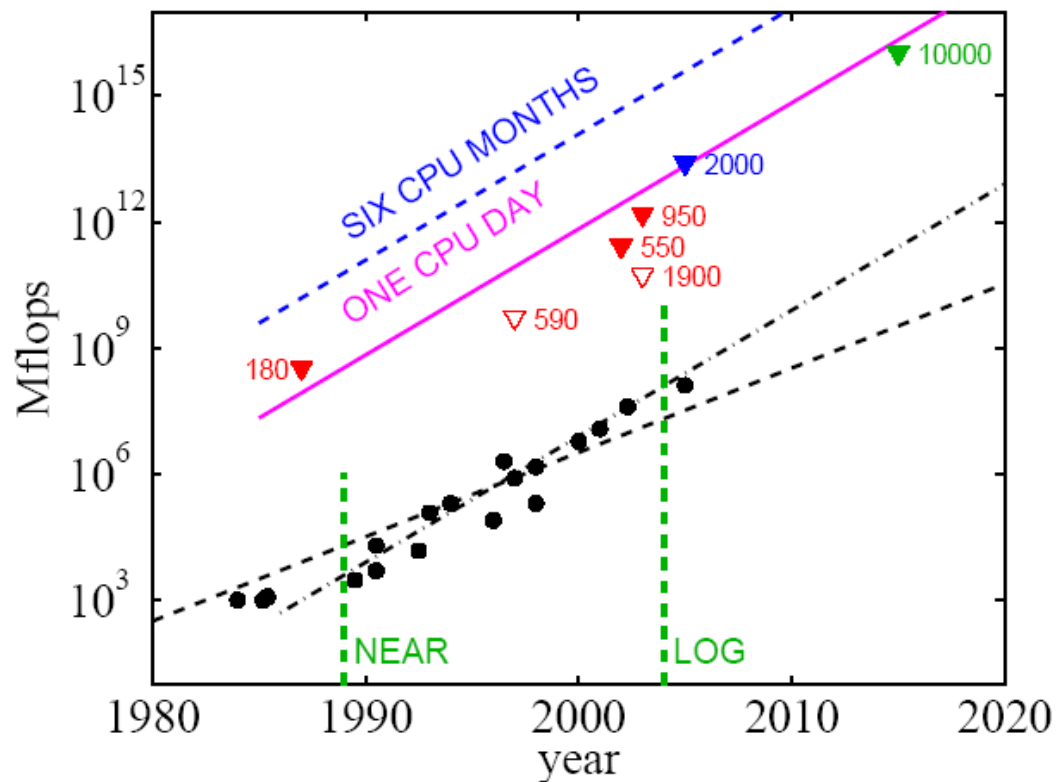
$$Re_\tau \gtrsim 1000$$

ASYMPTOTIC

Largest \gg Streaks

$$10 Re_\tau \gg 1000$$

$$Re_\tau \gtrsim 1000$$



!DNS son muy caras!

	<u>Procesador</u>	<u>Total</u>
Memoria	0.2GB	400GB
<i>Pasos</i>	125.000	125.000
Tiempo por cada paso del Runge-Kutta	40s	40s
<i>CPU-hours totales</i>	2800h	6e6h (1.3e6)
Horas humanas totales	4 months	4months
<i>Transferencia de datos entre procesadores</i>	0.6GB	1.2PB
Total de datos transmitidos	73PB	145EB
<i>Base de datos obtenida</i>	25TB	25TB
Flops conseguidos	50GF	3TF
<i>Flops totales</i>	18.3PF	3.6EF

Mare Nostrum

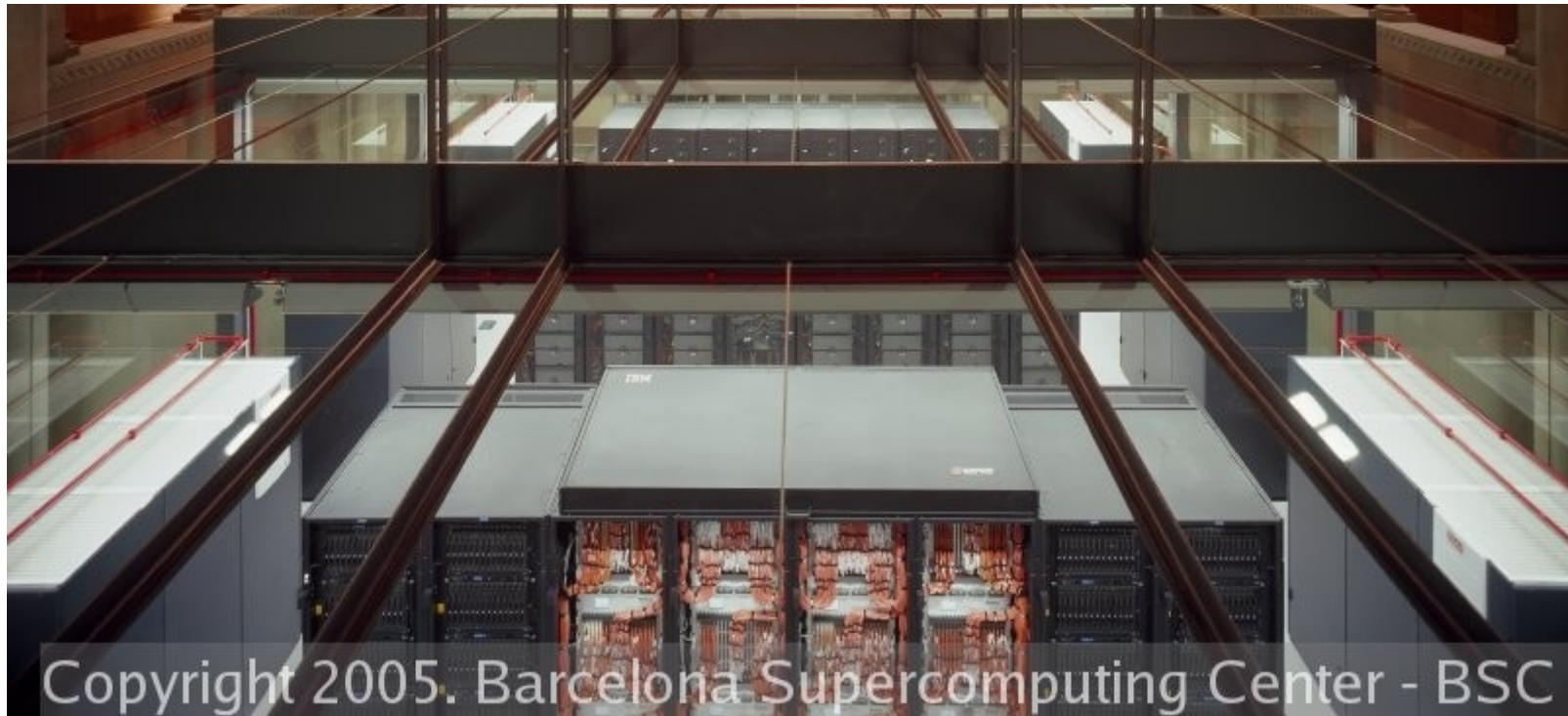
Supercomputador perteneciente al centro nacional de supercomputación.

4812 procesadores PowerPC 970FX a 2,2 GHz

9.6 TB de memoria ram. 236 TB de disco

Potencia mantenida de 38 Tflops.

Información: www.bsc.es



Copyright 2005. Barcelona Supercomputing Center - BSC

Agradecimientos

Almacenamiento: Port d'informació científica, www.pic.es. Castor:
Capacidad 1.5 PB. Idea del centro: Llegar a 10PB



Agradecimientos

BSC

José María Cela: FFTW and general optimization.

Sergi Girona: Input/output routines and many discussions about MareNostrum.

Jesús Labarta: Communications routines.

5.000.000 CPU-H assigned to run the simulation.

PIC

Manuel Delfino: Storage of the results of the simulations.

25 TB of permanent storage.

DEISA

800.000 CPU-H assigned through a project.

Conclusions

- We have made a new algorithm for a DNS of a turbulent channel flow, capable of use several thousands of processors, showing an excellent speed-up.
- The code has been written in Fortran90, C++ for the fft and MPI for the communication routines.
- This DNS has been a very expensive simulation, but not more than one experiment of the same magnitude, and we can compute almost any imaginable quantity.
- We have obtained 25TB of data that we are analyzing: Pressure, Energy balances...
- We have confirmed some trends but we also have found new questions.

Future work?

When a channel 4000 ?

- Grid size
(12288,901,9216)
- Estimated time per step:
140s on 4096 processors, 280 on 2048
- Number of steps needed
250.000
- Total time
20 million CPU-Hours, between 800 and 1400 days
- Do you have a new MareNostrum?

¡Gracias!

Fluid Dynamics Lab

Escuela de Aeronáutica, UPM

<http://torroja.dmt.upm.es>

